

V-18 海岸付近の地盤における効率的な上層取水 (II)

九州産業大学 正員 崎山 正常

細川土佐男
阿部孝行

1. まえがき 前報¹⁾では淡塩水境界面を水平面とみなしした近似解について述べたが、ここではこれを曲面として、ほぼ厳密な境界条件のもとに取り扱う数値解析手法とその結果について述べる。

2. 解析 まず右図に示す流れの場の任意点 (x, y) について $X = x/D, Y = y/D \dots \dots \dots (1)$

なる無次元化をほどこし、次に (ψ, Ψ) について

$$\phi' = (\kappa H - \psi) / \kappa h, \quad \psi' = \Psi / \kappa h \dots \dots \dots (2)$$

$$\psi = \kappa \{(\rho/\gamma) + y\} \dots \dots \dots (3)$$

なる無次元化を行なう。なお、記号の意味は通常用いられているとおりである。そうすると前報¹⁾との記号の対応は

$$\phi'_f = \phi_f / \phi_{f, Eu}, \quad \psi'_f = \psi_f / \phi_{f, Eu} \quad \dots \dots \dots (4)$$

$$\phi'_s = \phi_s / \phi_{s, Ju}, \quad \psi'_s = \psi_s / \phi_{s, Ju} \quad \dots \dots \dots (4)$$

となる。そこで $P_{f, CD} = P_{s, CD}$ の境界条件を用いると

$$Y_{CD} = \left(\frac{\psi_s}{\psi_s - \psi_f} \right) \left(\frac{H_s}{D} - \frac{h_s}{D} \phi'_{s, CD} \right) - \left(\frac{\psi_f}{\psi_s - \psi_f} \right) \left(\frac{H_f}{D} - \frac{h_f}{D} \phi'_{f, CD} \right) \dots \dots \dots (5)$$

がえられ、また特に、 $Y_C = Y_D = D_s/D$ を用いると

$$\frac{H_f}{D} = \frac{D_s}{D} + \frac{\psi_s}{\psi_f} \left(\frac{H_s - D_s}{D} \right) + \frac{h_f}{D} \left\{ \frac{\phi'_{s, D} \phi'_{s, C} - \phi'_{s, C} \phi'_{s, D}}{\phi'_{s, D} - \phi'_{s, C}} \right\} \dots \dots \dots (6)$$

$$\frac{h_f}{D} = \frac{h_f}{\psi_s} \left(\frac{\phi'_{s, D} - \phi'_{s, C}}{\phi'_{s, D} - \phi'_{s, C}} \right) \frac{h_f}{D}$$

なる密度流的特性式がえ

られる。

さて、与えられた流れの場の諸元に対して、これらの関係と右上図に示す境界条件を満たす XY 平面を求めるためには、

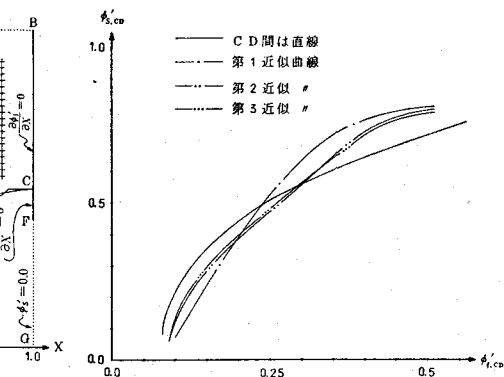
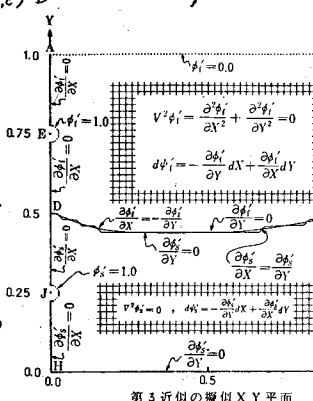
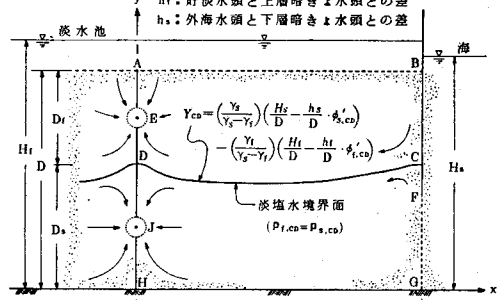
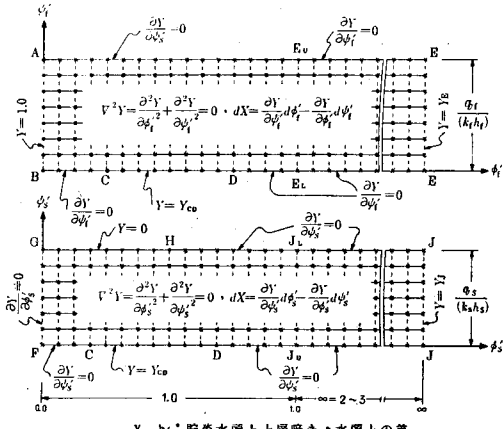
$\phi'_{s, CD}$ と $\phi'_{s, CD}$ の関係

$\psi_f / (\kappa_f h_f), \psi_s / (\kappa_s h_s)$

および $\phi'_{s, H}$ などの未知

量を知らなければならない。そこでこれらを推定するに当り、前報¹⁾で算定した近似淡塩水境界面で分断される上層および下層内を左上図のように解き、これを両中 "ψ" 平面上に適用して第1近似の XY 平面を算定し、同様にして近似度を上げてゆけば、第2~3近似程度で充分満足できる解がえられる。

3. 検討 前報¹⁾に示す近似淡塩水境界面と次ページの右上図の第3近似のそれを比較し、また、取・排水量



などの主要な水理諸量を比較しても、実用的には大差ない。したがって概略の検討のためには、前報¹⁾にもとづく算定結果で足りると考えるが、ひきつづく数値解析を行なうことも容易であるので、上述の数値解の近似度を満足できる程度まで進めて、最終的な取・排水量およびXY平面などを決定することが望ましいと考える。

次に、下層排水を行なわないで、上層取水のみを行なう場合と上述の場合とを取・排水量や淡塩水境界面など

について比較しておきたい。なお、右下図に示す流れの場は、解析的にも取り扱われている²⁾が、ここでは、前ページ右上に示す ϕ_f' 平面のCD上に式(5)にかかる

$$Y_{CD} = \left(\frac{\gamma_s}{\gamma_s - \gamma_f} \right) \frac{H_s}{D} - \left(\frac{\gamma_s}{\gamma_s - \gamma_f} \right) \left(\frac{H_t}{D} - \frac{h_t}{D} \cdot \phi'_{f,CD} \right) \dots (7)$$

を与えて算定した数値解析による結果を示している。なおこの場合には式(6)にかかる

$$\frac{H_t}{D} = \frac{\gamma_s}{\gamma_f} \cdot \frac{H_s}{D} - \left(\frac{\gamma_s - \gamma_f}{\gamma_f} \right) \cdot \left(\frac{\phi'_{f,D} Y_C - \phi'_{f,C} Y_D}{\phi'_{f,D} - \phi'_{f,C}} \right) \dots (8)$$

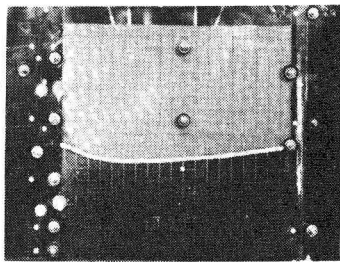
$$\frac{h_t}{D} = \left(\frac{\gamma_s - \gamma_f}{\gamma_f} \right) \left(\frac{Y_D - Y_C}{\phi'_{f,D} - \phi'_{f,C}} \right) \dots$$

がえられる。

なお、右下図を算定する過程で ϕ_f' 平面の境界上に与えなければならない $\phi'_{f,C}$ 、 $\phi'_{f,D}$ および $g_f/(R_f h_f)$ の推定に Y_C および Y_D を与える、途中を経験的な曲線で結んだ擬似的XY平面を前ページ左下に示す手法で解析した結果を用いた。そこで両場合の g_f を同じ $R_f D$ で無次元化すれば、下層排水を行なう場合には $g_f/(R_f D) \approx 0.02$ 、行なわない場合は $g_f/(R_f D) \approx 0.004$ となり、淡塩水境界面は後者の方が上昇しているに抱らず取水(可能)量はほぼ1/5に下っている。したがって下層排水の効果は顕著である。なお写真は実験による検証状態を示すものであり、解析結果は妥当と言えよう。

文献 1) 崎山ほか2名: 海岸付近の地盤における効率的な上層取水、本講演集内、1979年。

2) Norbert L. Ackermann, Hung Tao Shen: Pumping from a shallow water aquifer in a coastal region, 13th Cong. of IAHR., Proc. vol. 4, 1969年。



$$\frac{L}{D} = \frac{h_t}{\gamma_f} \cdot \frac{0.953}{1.037} (\approx 1.0), \quad Y_B = 0.731 (\approx 0.750), \quad Y_{B_0} = 0.753 (\approx 0.775)$$

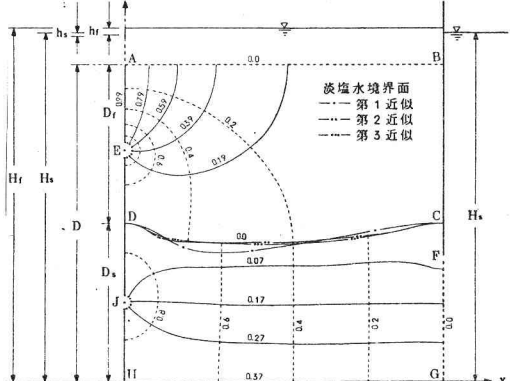
$$Y_{B_L} = 0.705 (\approx 0.725), \quad Y_C = 0.50 (= 0.50), \quad Y_D = 0.50 (= 0.50)$$

$$Y_J = 0.251 (\approx 0.250), \quad Y_{J_L} = 0.272 (\approx 0.275), \quad Y_{J_0} = 0.231 (\approx 0.225)$$

$$Y_P = 0.394 (\approx 0.40), \quad (\approx) \text{外の数値は解析値、内の数値は擬似 } xy \text{ 平面への与値。}$$

$$\frac{H_t}{D} = 1.10, \quad \frac{h_t}{D} = 0.02, \quad \frac{Y_s}{Y_t} = 1.025, \quad \frac{H_s}{D} = 1.11611, \quad \frac{h_s}{D} = 0.01123$$

$$\frac{q_t}{k_t h_t} = 0.99, \quad \frac{q_s}{k_s h_s} = 0.37$$



注: この図の流線および等ボテンシャル線のx座標は、それらの解析値を、上層で1/0.953倍に拡大し、下層で1/10.57倍に縮小して、直線A-DH(X=0)と直線B-CG(X=1.0)とに修正している。

$$\frac{L}{D} = 0.994 (\approx 1.0), \quad Y_B = 0.741 (\approx 0.750), \quad Y_{B_0} = 0.765 (\approx 0.775)$$

$$Y_{B_L} = 0.713 (\approx 0.725), \quad Y_C = 0.50 (= 0.50), \quad Y_D = 0.60 (= 0.60)$$

(≈)外の数値は解析値、内の数値は擬似 xy 平面への与値。

$$\frac{H_s}{D} = 1.10, \quad \frac{h_s}{D} = 0.00403, \quad \frac{H_t}{D} = 1.11524$$

$$\frac{Y_s}{Y_t} = 1.025, \quad \frac{q_t}{k_t h_t} = 0.970$$

